

УДК 535.373.2

БЕЗЫЗЛУЧАТЕЛЬНАЯ ДЕЗАКТИВАЦИЯ ИОНОВ Cr^{3+} И Co^{3+} В ЗАМОРОЖЕННЫХ РАСТВОРАХ

Е. Б. Свешникова и И. Б. Непорент

Показано, что механизм деградации энергии, предложенный ранее для ионов редких земель [1], справедлив для ионов переходных металлов. Измерены $\tau_{\text{фосф.}}$ $\text{Cr}(\text{NCS})_6^{3-}$ в различных растворителях при 77° К . Проведено сопоставление экспериментальных данных о константах безызлучательной дезактивации и значений констант, рассчитанных исходя из предположения о диполь-дипольном механизме деградации энергии. Установлено, что во всех тех растворителях, где основным процессом безызлучательной дезактивации является деградация энергии, наблюдается согласие экспериментальных и рассчитанных значений. Устранив концентрационное тушение в воде, ацетонитриле и диметилсульфоксиде, мы также получили согласие рассчитанных и экспериментальных данных. Полученные результаты позволяют сделать вывод, что индуктивно-резонансный механизм деградации энергии справедлив для любых ионов независимо от величины электронно-колебательного взаимодействия в них.

В работах [1] было высказано предположение, что причиной деградации энергии ионов редких земель является индуктивно-резонансный перенос энергии от возбужденного иона к изоэнергетическим с излучением этих ионов обертонам колебаний растворителя. Было показано, что экспериментальные данные по дезактивации ионов редких земель в жидким растворах хорошо согласуются с предложенным механизмом.

Для проверки общности диполь-дипольного механизма деградации энергии мы попытались распространить его на ионы переходных металлов, спектры которых обладают более развитой электронно-колебательной структурой. Изучение деградации энергии в этих ионах позволяет ответить на вопрос, справедлив ли индуктивно-резонансный механизм для любых электронно-возбужденных объектов независимо от силы электронно-колебательного взаимодействия в них?

В силу меньшей по сравнению с ионами редких земель экранированности *d*-оболочек переходных металлов они активно взаимодействуют с окружающей средой и друг с другом, а поэтому прежде чем проводить сопоставление результатов расчета и эксперимента необходимо выяснить природу дезактивации ионов. Необходимо также устранить имеющиеся в литературе разногласия относительно вида спектров и $\tau_{\text{фосф.}}$ ионов Cr^{3+} в растворах [2-4].

Методика

В качестве объектов исследования были выбраны соли $\text{K}_3\text{Cr}(\text{NCS})_6 \cdot 4\text{H}_2\text{O}$ и $\text{K}_3\text{Co}(\text{CN})_6 \cdot n\text{H}_2\text{O}$, обладающие заметным выходом фосфоресценции при $T=77^\circ \text{ К}$. Измерение $\tau_{\text{фосф.}}$ и спектров фосфоресценции проводилось на установках, описанных ранее [5]. $\tau_{\text{фосф.}}$ Cr^{3+} было измерено в целом ряде дейтерированных и обычных растворителей. Процент дейтерирования воды и метанола был высок (выше, чем, 99% изотопа). Диметилсульфоксид-*d*₆ содержал 97% изотопа. Ввиду низкой растворимости солей $\text{K}_3\text{Co}(\text{CN})_6$ при их изучении пришлось ограничиться лишь кристаллами и растворами в H_2O и D_2O .

Известно, что положение 0—0-полосы фосфоресценции ионов Cr^{3+} существенно зависит от типа координации иона [6]. Поскольку лабильность комплексов Cr^{3+} низка (константа скорости обмена с растворителем для него 10^{-5} — 10^{-7} сек.⁻¹), то во всех растворителях в течение достаточно длительного периода (от нескольких часов до нескольких суток) ион Cr^{3+} существует в виде аниона $\text{Cr}(\text{NCS})_6^{3-}$. Справедливость такого вывода подтверждают спектральные данные. Спектры фосфоресценции Cr^{3+} в свежеприготовленных растворах близки по расположению и распределению интенсивности к спектрам фосфоресценции кристалла $\text{K}_3\text{Cr}(\text{NCS})_6$. Заметные различия в спектрах появляются лишь со временем в растворителях, координирующих ионы Cr^{3+} через кислород; нагревание значительно ускоряет процесс внедрения растворителя в первую координационную сферу Cr^{3+} (рис. 1, где приведены спектры фосфоресценции замороженных растворов $\text{K}_3\text{Cr}(\text{NCS})_6$ в воде, полученные сразу и спустя некоторое время после приготовления раствора).

Сходство спектров фосфоресценции Cr^{3+} во всех свежеприготовленных растворах (независимо от используемого растворителя) свидетельствует об идентичности окружения, об отсутствии растворителя в первой координационной сфере. Поэтому наблюдаемое нами различие в $\tau_{\text{фосф.}}$ $\text{Cr}(\text{NCS})_6^{3-}$ в метаноле и дейтерометаноле, в диметилсульфоксида и дейтеродиметилсульфоксида, в дейтерированной воде и дейтерометаноле свидетельствует о влиянии второй сферы окружения на вероятность деградации энергии $k_{\text{без.}} \text{Cr}^{3+}$, причем это влияние существует даже и в дейтерированных растворителях. Существование такого влияния заранее не было очевидным ввиду весьма высокой величины частоты растягивающих колебаний группы $\text{NC} (\nu_{\text{NC}} = 2100 \text{ см}^{-1})$ и ее близости к иону хрома. Существование зависимости $\tau_{\text{фосф.}}$ от дейтерирования позволяет предполагать, что основным процессом безызлучательной дезактивации в этих растворителях является деградация энергии на OH и CH колебаниях растворителя. Мы попытались вычислить $k_{\text{без.}} \text{Cr}^{3+}$ из данных о $\tau_{\text{фосф.}}$ Cr^{3+} и его $k_{\text{изл.}}$, вычисленном из спектров поглощения, однако $k_{\text{изл.}}$ оказалось больше $1/\tau_{\text{фосф.}}$ в CD_3OD , а потому более разумным было положить $k_{\text{изл.}} \leqslant 1/\tau_{\text{CD}_3\text{OD}}$. Чтобы выяснить, справедлив ли предложенный нами ранее механизм деградации энергии, необходимо сопоставить найденные нами $k_{\text{без.}}$ с результатами расчета. В литературе нет единого мнения о природе 0—0-перехода в ионе Cr^{3+} . Многие авторы [7] склоняются к мнению, что в кристаллах он преимущественно магнитно-дипольный, однако вся вибронная часть спектра фосфоресценции хрома, а в растворах в основном и интенсивность 0—0-полосы, обусловлены излучением диполя, возникающим в результате снятия запрета несимметричными колебаниями окружения, т. е. излучение Cr^{3+} в растворе — излучение электрического диполя. Поэтому на основе предположенного ранее [1, 11] индуктивно-резонансного механизма все расчеты $k_{\text{без.}} \text{Cr}^{3+}$ проведены в диполь-дипольном приближении. Так же как и в предыдущих работах [1], расчет можно было произвести по формуле Фёрстера

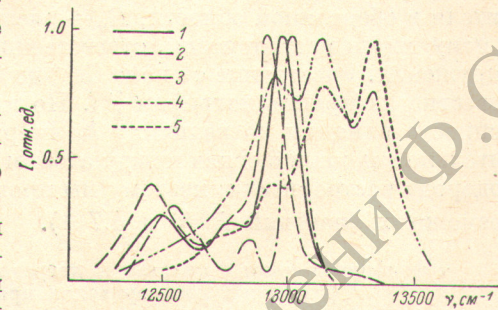


Рис. 1. Спектры фосфоресценции гексароднида хрома при 77° К.

1 — в кристалле $\text{K}_3\text{Cr}(\text{NCS})_6 \cdot 4\text{H}_2\text{O}$, 2 — в метаноле сразу после приготовления раствора, 3 — в D_2O сразу после приготовления раствора, 4 — в D_2O после нагревания раствора в течение 5 час. при 50° С, 5 — в D_2O после нагревания раствора в течение 7 час. при 50° С.

$$k_{\text{без.}} (\text{сек.}^{-1}) = \sum_i 8.8 \cdot 10^{-25} n^{-4} \kappa^2 k_{\text{изл.}} R_i^{-6} \int F(\gamma) \epsilon_p(\gamma) \nu^{-4} d\nu,$$

где $\varepsilon_p(\nu)$ — молярный десятичный коэффициент поглощения растворителя, R_i — расстояние от иона до групп растворителя, ответственных за поглощение в обертонной области. Все прочие обозначения общепринятые. Суммирование осуществляется по всем молекулам растворителя, окружающим ион. Однако в отличие от предыдущей задачи для гексароданида хрома радиус начальной сферы (см. таблицу, последние два столбца) превосходит размеры молекул растворителя, а потому ряд сходится менее быстро. Учет же отдельных координационных сфер затруднен, так как нет данных об их размерах и числе молекул растворителя в них. Поэтому мы в своих расчетах воспользовались другой формулой, выведенной Галаниным и Франком [8] для излучения диполя в непрерывной поглощающей среде,

$$k_b \text{ (сек.}^{-1}\text{)} = \frac{k_{\text{изл.}}}{R_0^3} \int F(\lambda) \alpha_p(\lambda) \lambda^4 d\lambda,$$

где $F(\lambda)$ — спектр излучения Cr^{3+} , $\alpha_p(\lambda)$ — линейное поглощение растворителя в обертонной области, R_0 — расстояние от иона Cr^{3+} до ближайших к нему групп растворителя, ответственных за высокочастотные колебания окружения. Расстояние от иона Cr^{3+} до ближайших молекул растворителя известно из кристаллографии [9]. Но для растворов оставался открытым вопрос о влиянии на величину k_b либрации молекул растворителя относительно водородной связи между атомом серы роданидной группы и атомом водорода растворителя, поэтому мы провели расчеты для двух предельных возможных значений R (6 и 4.7 Å).

τ фосфоресценции и константы деградации роданидного комплекса Cr^{3+} в различных растворителях при 77°K , $k_{\text{изл.}} \leq 40 \text{ сек.}^{-1}$

Растворитель	$\tau_{\text{эксп.}}$, мсек.	$k_{\text{эксп.}}^*$, сек.^{-1}	$k_{\text{теор.}}$, $R = 6.0 \text{ \AA}$	$k_{\text{теор.}}$, $R = 4.7 \text{ \AA}$
$\text{H}_2\text{O} + \text{NaNCS}$	2.0	460	63	127
$\text{H}_2\text{O} + \text{глицерин}$	4.2	198	—	—
$\text{D}_2\text{O} + \text{глицерин}$	6.3	119	—	—
$\text{D}_2\text{O} + \text{NaNCS}$	9.0	71	5.3	11.6
CH_3OH	8.5	78	31.5	64
CD_3OD	25.0	—	—	—
C_5NH_5	8.0	85	6	12
$\text{CH}_3\text{CN} + \text{N}7\text{aNCS}$	9.0	71	—	—
$(\text{CH}_3)_2\text{SO} (\text{C} < 0.03 \text{ M})$	9.5	65	6	12
$(\text{CD}_3)_2\text{SO} (\text{C} < 0.03 \text{ M})$	12.5	40	—	—
$(\text{C}_4\text{H}_9\text{O})_3\text{PO}$	10.6	46	6	12
CH_3OD	19.0	—	—	—
CD_3OH	16.0	—	—	—

* Все значения $k_{\text{эксп.}}$ исправлены по сравнению с [1], так как более высокие значения τ фосфоресценции Cr^{3+} были получены в партии CD_3OD с более высоким процентом дейтерирования и за $k_{\text{изл.}}$ принято $1/\tau_{\text{CD}_3\text{OD}}$ этих растворов.

Сравнение результатов расчета и экспериментальных данных

Сравнивать предсказания любой теории деградации энергии электронного возбуждения с экспериментальными данными о константе безызлучательной дезактивации имеет смысл лишь в том случае, если деградация (размен электронной энергии возбуждения иона на колебания растворителя) является единственным или основным процессом дезактивации, а прочие процессы, такие как обратимая фотохимическая реакция, обратимый перенос электрона, концентрационные обменные взаимодействия, либо отсутствуют, либо подавлены деградацией. Для выяснения природы дезактивации ионов переходных металлов в различных растворителях при $T=77^\circ \text{K}$ была исследована зависимость $\tau_{\text{фосф.}}$ от 1) дейтерирования

растворителя; 2) концентрации соли переходных металлов в растворе; 3) концентрации солей щелочных металлов; 4) времени, прошедшего с момента приготовления образца.

Результаты исследования показали, что для трибутилфосфата, пиридина, водно-глицериновых растворов и спиртов ($\tau_{\text{фосф.}}$ и $k_{\text{без.}}$ для этанола и пропанола близки к данным для метанола) независимо от концентраций роданида хрома в растворе наблюдается разумное согласие экспериментальных и рассчитанных значений констант деградации, что указывает на справедливость для иона хрома индуктивно-резонансного механизма деградации энергии.

Из таблицы видно, что $\tau_{\text{фосф.}}$ Cr^{3+} в полностью и частично дейтерированном метаноле различаются. Расчеты по формуле (1) могут объяснить различия в $\tau_{\text{фосф.}}$ Cr^{3+} в CD_3OH и CH_3OD , если предположить, что группа CH_3 удалена от иона Cr^{3+} больше, чем группа OH . Это предположение согласуется с данными работы [10], в которой расположение метиль-

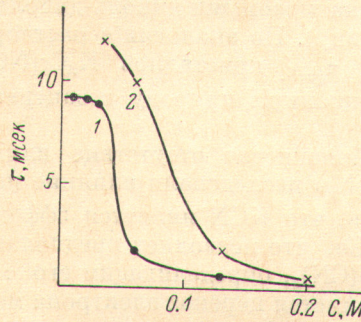


Рис. 2. Зависимость $\tau_{\text{фосф.}}$ гексароданида хрома в диметилсульфоксида (1) и дейтеродиметилсульфоксида (2) от концентрации гексароданида хрома в растворе при $T=77^\circ \text{K}$.

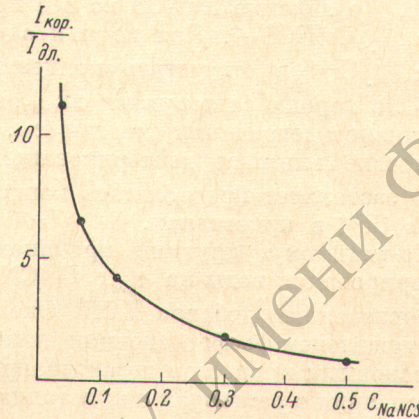


Рис. 3. Зависимость от концентрации роданида Na отношения интенсивности короткой к интенсивности длинной компонент фосфоресценции гексароданида хрома ($C=0.03 \text{ M}$) в воде при $T=77^\circ \text{K}$.

λ наблюдения = 790 нм, τ короткой компоненты — 100 мкsec., τ длинной компоненты — 2 мкsec.

ной и гидроксильной групп относительно роданида хрома установлено методом ЯМР, т. е. исследование деградации позволяет делать некоторые выводы относительно расположения молекул растворителя в ближайшем к иону окружении.

При исследовании безызлучательной дезактивации ионов Cr^{3+} еще в трех растворителях: воде, ацетонитриле и диметилсульфоксида согласие экспериментальных и расчетных значений наблюдалось лишь при определенных условиях опыта. Мы постараемся показать, что в этих растворителях концентрационное тушение является основным процессом дезактивации, определяющим $\tau_{\text{фосф.}}$ ионов Cr^{3+} , сравнивать результаты расчета и эксперимента имеет смысл, лишь устранив этот процесс. Так, для диметилсульфоксида следует сравнивать $k_{\text{без.}}$, рассчитанные в диполь-дипольном приближении (см. таблицу), лишь с $k_{\text{без.}}$, полученными из экспериментальных значений $\tau_{\text{фосф.}}$ в сильно разбавленных растворах. В области концентраций от 0.03 до 0.13 М в диметилсульфоксиде (рис. 2) наблюдается резкое сокращение $\tau_{\text{фосф.}}$ Cr^{3+} . Концентрационное тушение $\text{Cr}(\text{NCS})_6^{3-}$ удается устранить, если добавить в раствор роданистую соль любого щелочного металла. При избытке в растворе NaNCS $\tau_{\text{фосф.}}$ $\text{Cr}(\text{NCS})_6^{3-}$ во всей области концентраций остается постоянным и равным $\tau_{\text{фосф.}}$ разбавленных

растворов.¹ Можно предположить, что добавление роданида Na приводит к разрыву мостиков между ионами хрома и тем самым способствует устранению концентрационного тушения.

Если короткое $\tau_{\text{фосф.}}$ роданида хрома в замороженных стеклообразных растворах роданида хрома в воде и ацетонитриле и отсутствие влияния на него дейтерирования растворителя объясняется наличием концентрационного тушения, то можно ожидать, что добавление роданида Na устранит концентрационное тушение и в этом случае. Действительно, добавление роданида Na приводит к появлению длинной компоненты свечения роданида Cr^{3+} . На рис. 3 приведена кривая зависимости соотношения интенсивности длинной и короткой компонент свечения ионов Cr^{3+} от концентрации роданида Na в растворе. При избытке роданида Na в растворе короткая компонента полностью исчезает, наблюдаются заметные различия в $\tau_{\text{фосф.}}$ Cr^{3+} в D_2O и H_2O . Аналогичные результаты получены и в ацетонитриле. Добавление NaNCS во все прочие растворители никак не влияет на $\tau_{\text{фосф.}}$ $\text{Cr}(\text{NCS})_6^{3-}$. Для воды и ацетонитрила значения $k_{\text{без.}}$, найденные из $\tau_{\text{фосф.}}$ Cr^{3+} в отсутствие концентрационного тушения (при избытке NaNCS), хорошо согласуются с $k_{\text{без.}}$, предсказываемыми диполь-дипольным механизмом деградации энергии (см. таблицу). По аналогии с растворами отсутствие влияния дейтерирования на $\tau_{\text{фосф.}}$ кристаллов $\text{K}_3\text{Cr}(\text{NCS})_6 \cdot 4\text{H}_2\text{O}$ заставляет предполагать концентрационную природу дезактивации ионов Cr^{3+} в кристаллах.

По-видимому, другими причинами объясняется отсутствие влияния дейтерирования воды на $\tau_{\text{фосф.}}$ $\text{Co}(\text{CN})_6^{3-}$.² Мы исследовали влияние на его фосфоресценцию добавок KCN . Оказалось, что KCN является эффективным тушителем фосфоресценции цианида Co, что позволяет предполагать, что основным процессом дезактивации $\text{Co}(\text{CN})_6$, определяющим его τ фосфоресценции в растворах и кристаллах, является перенос электрона между Co^{3+} и CN^- .

Дополнительные сведения, подтверждающие концентрационную мостиковую природу дезактивации ионов $\text{Cr}(\text{NCS})_6^{3-}$, дало параллельное исследование изменений $\tau_{\text{фосф.}}$ и спектров фосфоресценции образцов в зависимости от времени, прошедшего после приготовления растворов.

Оказалось, что во всех кислородсодержащих растворителях внедрение растворителя в первую сферу сопровождается сдвигом спектра в коротковолновую сторону и при этом в метаноле, трибутилфосфате, разбавленном растворе диметилсульфоксида, как и следовало ожидать, наблюдается уменьшение $\tau_{\text{фосф.}}$ Cr^{3+} . В то же время растворители D_2O и ацетонитрил ведут себя аномально с точки зрения теории деградации, внедрение этих растворителей в первую координационную сферу (т. е. сближение центров электронного возбуждения и центров колебаний, на которых разменивается электронная энергия), приводят к росту $\tau_{\text{фосф.}}$ Cr^{3+} . Например, $\tau_{\text{фосф.}}$ раствора, реакция аквотации в котором была ускорена нагреванием до 50°C , в течение 13.5 час.росло постепенно от 100 мксек до 2 мксек; дальнейшее нагревание привело к падению $\tau_{\text{фосф.}}$ Cr^{3+} .

Экспоненциальным затуханием было лишь для свежих растворов и для растворов с максимальным $\tau_{\text{фосф.}}$. Эти результаты становятся понятными, если предположить, что внедрение молекулы воды в первую координационную сферу Cr^{3+} устраниет концентрационное тушение. Максимальное $\tau_{\text{фосф.}}$ соответствует тому моменту, когда у большей части анионов $\text{Cr}(\text{NCS})_6^{3-}$ произошел обмен одного аниона роданида на воду.

Кратко сформулируем результаты работы: 1) выяснена природа безызлучательной дезактивации двух ионов переходных металлов в кристаллах и ряде растворителей; 2) доказано, что деградация энергии ионов $\text{Cr}(\text{NCS})_6^{3-}$

¹ Интересно, что добавление небольших (меньше 15%) количеств H_2O в растворы диметилсульфоксида и ацетонитрила также приводит к росту $\tau_{\text{фосф.}}$.

² $\tau_{\text{фосф.}}$ кристалла $\text{K}_3\text{Co}(\text{CN})_6 = 680$ мксек., совпадает с [3].

осуществляется под действием колебаний молекул растворителя, удаленных от иона Cr^{3+} на расстояние 4—6 Å; 3) для ионов переходных металлов, так же как и для ионов редких земель, справедлив диполь-дипольный механизм деградации энергии и, следовательно, значительные (на 1—2 порядка) различия в величине электронно-колебательного взаимодействия в этих ионах не влияют на механизм деградации энергии.

В заключение мы рады возможности поблагодарить В. Л. Ермолаева за идею данной работы и обсуждение результатов.

Литература

- [1] Е. Б. Свешникова, В. Л. Ермолаев. Опт. и спектр., 30, 379, 1971;
Е. Б. Свешникова, В. Л. Ермолаев. Изв. АН СССР, сер. физ.,
35, 148, 1971.
- [2] G. B. Porter, J. Am. Chem. Soc., 92, 2189, 1970.
- [3] K. K. Chatterjee, L. S. Forster. Spectrochim. Acta, 20, 1603, 1964.
- [4] И. Н. Андреева, В. И. Студенов, В. А. Латышева, Н. Г. Бахшиев.
Ж. прикл. спектр., 12, 1075, 1970.
- [5] Н. А. Казанская, Е. Б. Свешникова. Опт. и спектр., 28, 699, 1970;
В. Л. Ермолаев, Е. Б. Свешникова. Опт. и спектр., 16, 587, 1964.
- [6] Ф. Басоло, Р. Пирсон. Механизм неорганических реакций, 66. Изд.
«Мир», 1971.
- [7] R. A. Condrate, L. S. Forster. J. Chem. Phys., 48, 1514, 1968.
- [8] М. Д. Галанин, И. М. Франк. ЖЭТФ, 21, 114, 1951.
- [9] V. Tanenchi, Y. Saito. Bull. Chem. Soc. Japan, 30, 319, 1957.
- [10] L. S. Frankel. J. Phys. Chem., 73, 3897, 1969.
- [11] Е. Б. Свешникова, И. Б. Непорент. Изв. АН СССР, сер. физ., 36,
1087, 1972.

Поступило в Редакцию 14 марта 1972 г.